VI Transformée de Fourier discrète et filtrage

- Revisite du filtrage <u>linéaire</u> vu précédemment, mais sous l'angle du filtrage « directement » dans le plan de Fourier, i.e. le plan des fréquences spatiales (par le biais de la Transformée de Fourier (TF) bidimensionnelle).
 - => de nouveaux horizons vont s'ouvrir à nous en termes d'amélioration/de restoration d'image...
- Illustrations/applications:
 - filtrage passe-bas (afin d'atténuer les hautes fréquences, de « lisser » une image),
 - filtrage passe-haut (afin de faire ressortir les hautes fréquences, par exemple des contours),
 - filtrage passe-bande (pour enlever par exemple des biais périodiques, comme un tramage).
- D'autres applications abordées à la fin de ce chapitre (restoration/reconstruction d'image => déconvolution).

(1) TF discrète (TFD, DFT en anglais) bidimensionnelle

• Soit f(x, y), avec : x=0,1,2,...,M-1, et : y=0,1,2,...,N-1, une image digitale de taille MxN.

La TFD de f(x, y), $\hat{f}(u, v)$, s'écrit :

$$\hat{f}(u,v) = \sum_{x=0}^{M-1} \sum_{y=0}^{N-1} f(x,y) \exp\left\{-i2\pi(ux/M + vy/N)\right\}$$

Remarque : dans le monde continu, on a :

$$\hat{f}(u,v) = \int \int f(x,y) \exp\left\{-i2\pi(ux+vy)\right\} dx dy$$

- x et y sont les coordonnées spatiales des pixels de l'image f(x,y)
- u et v sont les coordonnées fréquentielles des frequels (frequels = « frequency elements » = les pixels dans le plan de Fourier) de $\hat{f}(u, v)$.
- La TFD inverse s'écrit :

$$f(x,y) = \frac{1}{MN} \sum_{u=0}^{M-1} \sum_{v=0}^{N-1} \hat{f}(u,v) \exp \{i2\pi(ux/M + vy/N)\}$$

Même remarque:

$$f(x,y) = \int \int \hat{f}(u,v) \exp\{i2\pi(ux+vy)\} du dv$$

- $\hat{f}(0,0)$ = « composante continu » (vient de l'électronique) = intégrale (somme dans le monde discret) de f(x,y)
- Même si f(x,y) est réelle, $\hat{f}(u,v)$ est a priori complexe.
- On peut donc a priori exprimer $\hat{f}(u, v)$ comme :

$$\hat{f}(u,v) = |\hat{f}(u,v)| \exp \{i\phi(u,v)\}$$

où $|\hat{f}(u,v)|$ est le module de $\hat{f}(u,v)$ et $\phi(u,v)$ son argument.

$$|\hat{f}(u,v)| = \sqrt{Re^2(\hat{f}(u,v)) + Im^2(\hat{f}(u,v))}$$

$$\phi(u, v) = \arctan \frac{Im(\hat{f}(u, v))}{Re(\hat{f}(u, v))}$$

Densité spectrale :

$$|\hat{f}(u,v)|^2 = Re^2(\hat{f}(u,v)) + Im^2(\hat{f}(u,v))$$

Quelques propriétés de la TFD

-
$$f$$
 réelle => $Re(\hat{f})$ paire et $Im(\hat{f})$ impaire
Et $|\hat{f}(u,v)| = |\hat{f}(-u,-v)|$ module toujours paire
=> Densité spectrale centro-symmétrique

-
$$f$$
 paire => $Im(\hat{f}) = 0$

- La TFD est <u>circulaire</u> (i.e. périodique de période *M* en *u* et de période *N* en *v*)
- La TFD inverse aussi (de période *M* en *x* et *N* en *y*)
 => l'image obtenue par TFD inverse est *périodisée*!
- Ces deux derniers points : car les images et leurs TFD sont échantillonnées.

Échantillonnage dans le plan direct (respectivement dans le plan de Fourier) <=> périodisation dans le plan de Fourier (respectivement dans le plan direct).

 Calculer la TFD sous Matlab/Octave : en fait calcul d'une FFT (Fast Fourier Transform) :

$$\Rightarrow$$
 $\hat{f} = fft2(f)$

• Mais la FFT produit un décalage de (M/2, N/2) = fftshift sous Matlab/Octave pour réordonner le plan.

 Quand on va devoir placer l'image initiale dans un tableau plus grand pour le filtrage, on utilisera une syntaxe plus complète pour la FFT :

$$\Rightarrow$$
 $\hat{f} = fft2(f, P, Q)$

où P et Q plus grands que M et N (zero padding).

• Module de $\hat{f}(u, v)$ obtenu avec la commande *abs* :

$$>> mod = abs(\hat{f})$$

 Visualiser |FFT| correctement (frequel central au centre du tableau visualisé, pas dans les coins) :

```
>> imagesc(abs(fftshift(fft2(f))))
```

 Pour mieux voir (dynamique souvent limitée par rapport à la dynamique de la TF) :

```
>> imagesc((abs(fftshift(fft2(f))))^0.5)
```

• Opération inverse à fftshift : ifftshift, ainsi :

$$>> \hat{f} = ifftshift(fftshift(\hat{f}))$$

• Pour calculer la phase (ou argument) de \hat{f} : $\frac{atan2(Im(f),Re(f))}{n}$, qui est un tableau d'angles entre $-\pi$ et π . Autrement dit :

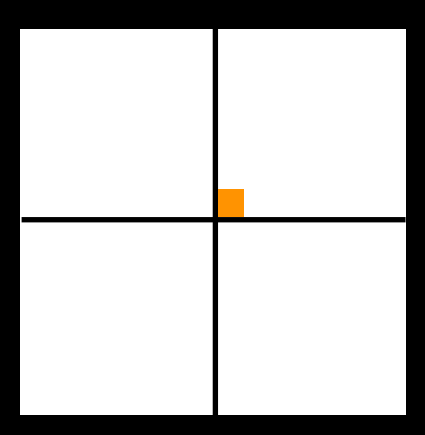
$$>> phi = atan2(imag(\hat{f}), real(\hat{f}))$$

ou plus directement avec angle (ou même arg):

$$>> phi = angle(\hat{f})$$

(Et on a donc :
$$\hat{f} = abs(\hat{f}) \cdot exp(i * angle(\hat{f}))$$

 Attention, pour la TFD : le centre se situe ici [M/2+1, N/2+1] si M et N sont paires :



(si nb impairs (M ou N): floor(M/2)+1, floor(N/2)+1)

• La FFT inverse s'obtient grâce à ifft2 :

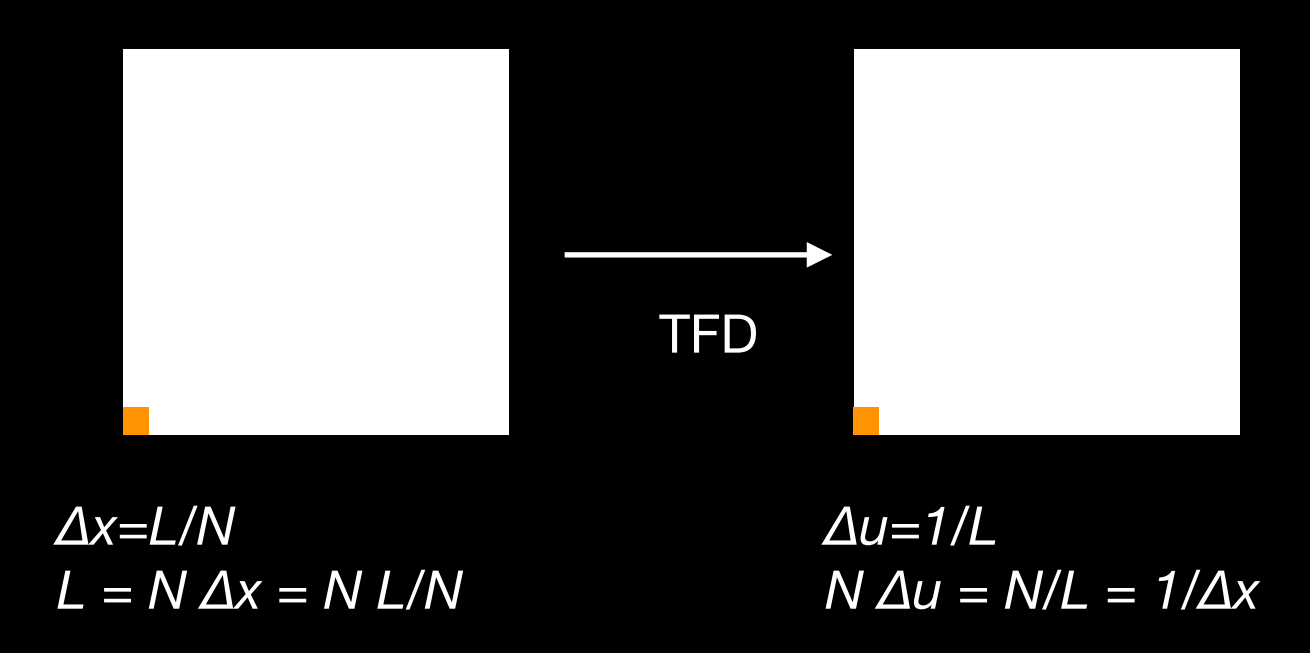
$$>> f = ifft2(\hat{f})$$

 Attention : fft2 convertit au passage en classe « double »...

f de type $uint8 -> \hat{f}$ de type double (valeurs réelles en double précision, mais entre 0.0 et 255.0)

=> pour éviter les problèmes : convertir dès le début les images en réels double précision entre 0.0 et 1.0 !

- Unités dans le plan de Fourier :
 - image de longueur $L=N \Delta x$, avec N le nb linéaire de pixels et Δx la taille du pixel
 - => pas en fréquence $\Delta u = 1/L = 1/(N \Delta x)$, en u et $\Delta v = 1/(N \Delta y)$ en v... mais normalement $\Delta x = \Delta y$!
 - => vecteur de fréquences spatiales u (ou v) : $u=1/(N\Delta x)$ [-N/2...0...N/2-1]
 - => plus grande (haute!) fréquence spatiale disponible = $1/(N\Delta x) \times N/2 = 1/2 1/\Delta x$



- Exemple sous Matlab:
 - -> FFT bidimensionnelle d'une sinusoïde :

```
>> Tx=20; —> période de 20 pixels (tôle ondulée)

>> x=0:99;

>> whos x —> vecteur de 100 valeurs de 0 à 99

>> I = ones(100,1) * (1 + cos(2*pi*x/Tx));

>> imagesc(I), colorbar
```

(>>improfile sous Matlab, sinon un plot pour vérifier la sinusoïde selon l'axe des x)

```
>> Ichap = fft2(I);

>> whos Ichap

>> figure

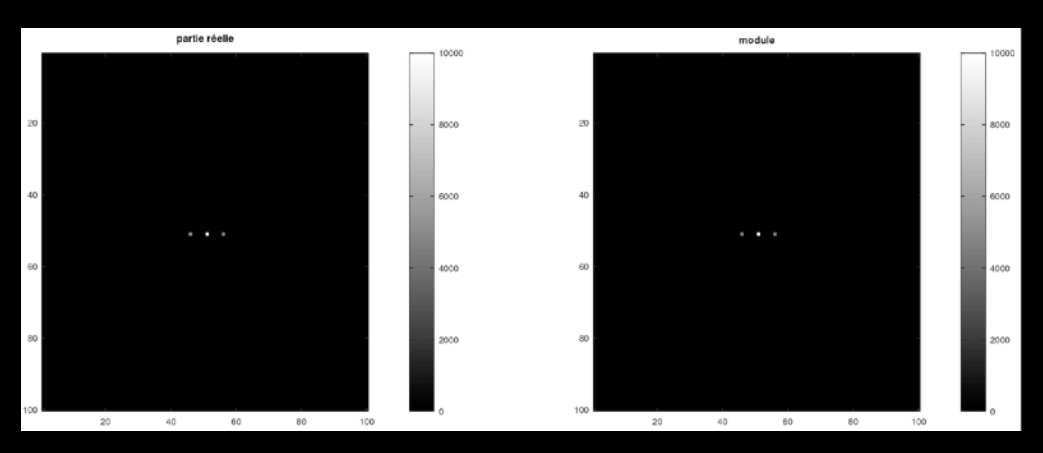
>> subplot(1,2,1), imagesc(I), title('Sinusoïde'),

colorbar, axis('square')

>> subplot(1,2,2), imagesc(abs(fftshift(Ichap))), title('|

FFT(Sinusoïde)|'), colorbar, axis('square')
```

Remarque : ici, la fonction cosinus étant paire, la partie imaginaire de sa TF est nulle, et donc on aurait pu représenter de manière équivalente la partie réelle plutôt que le module.

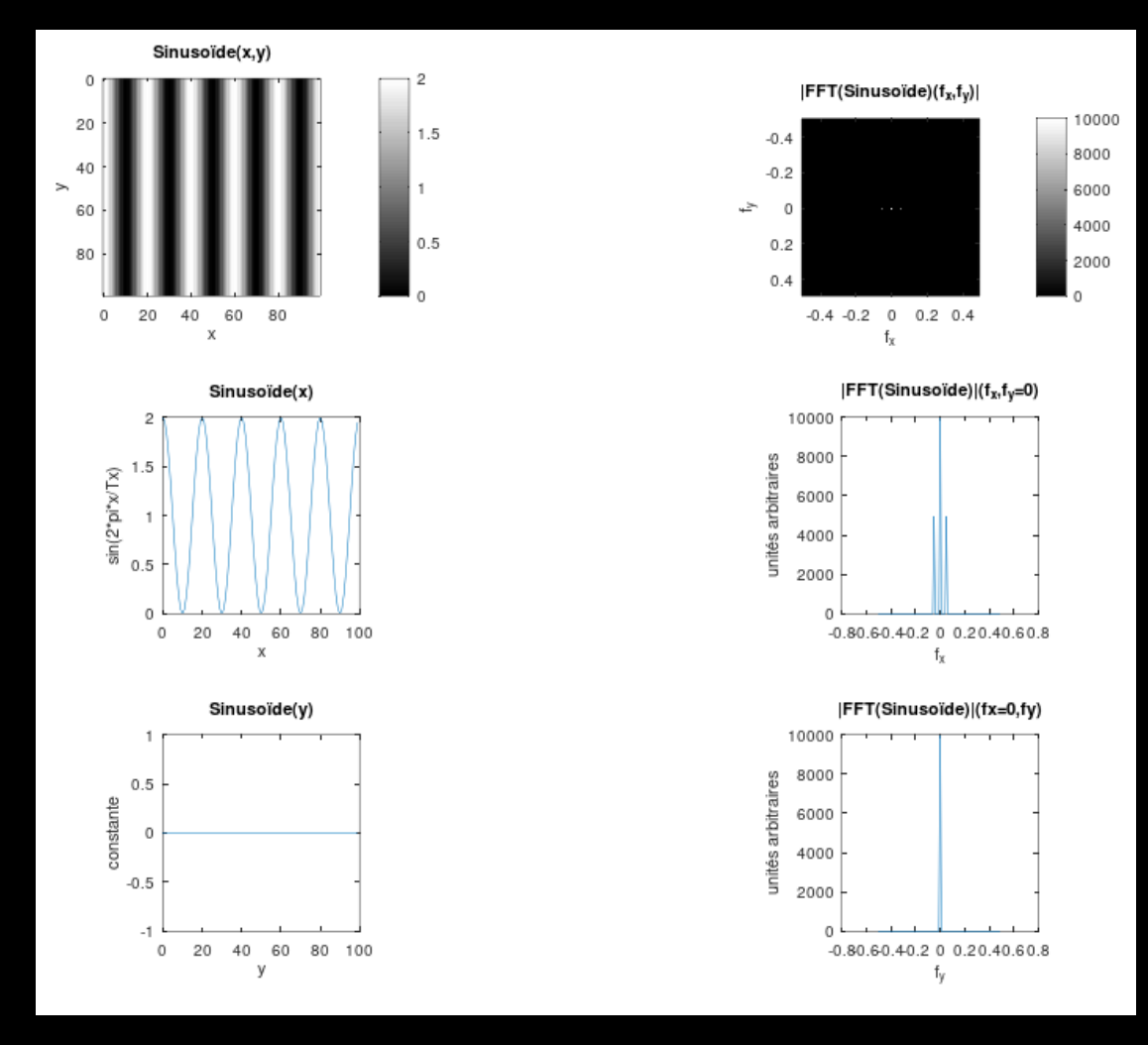


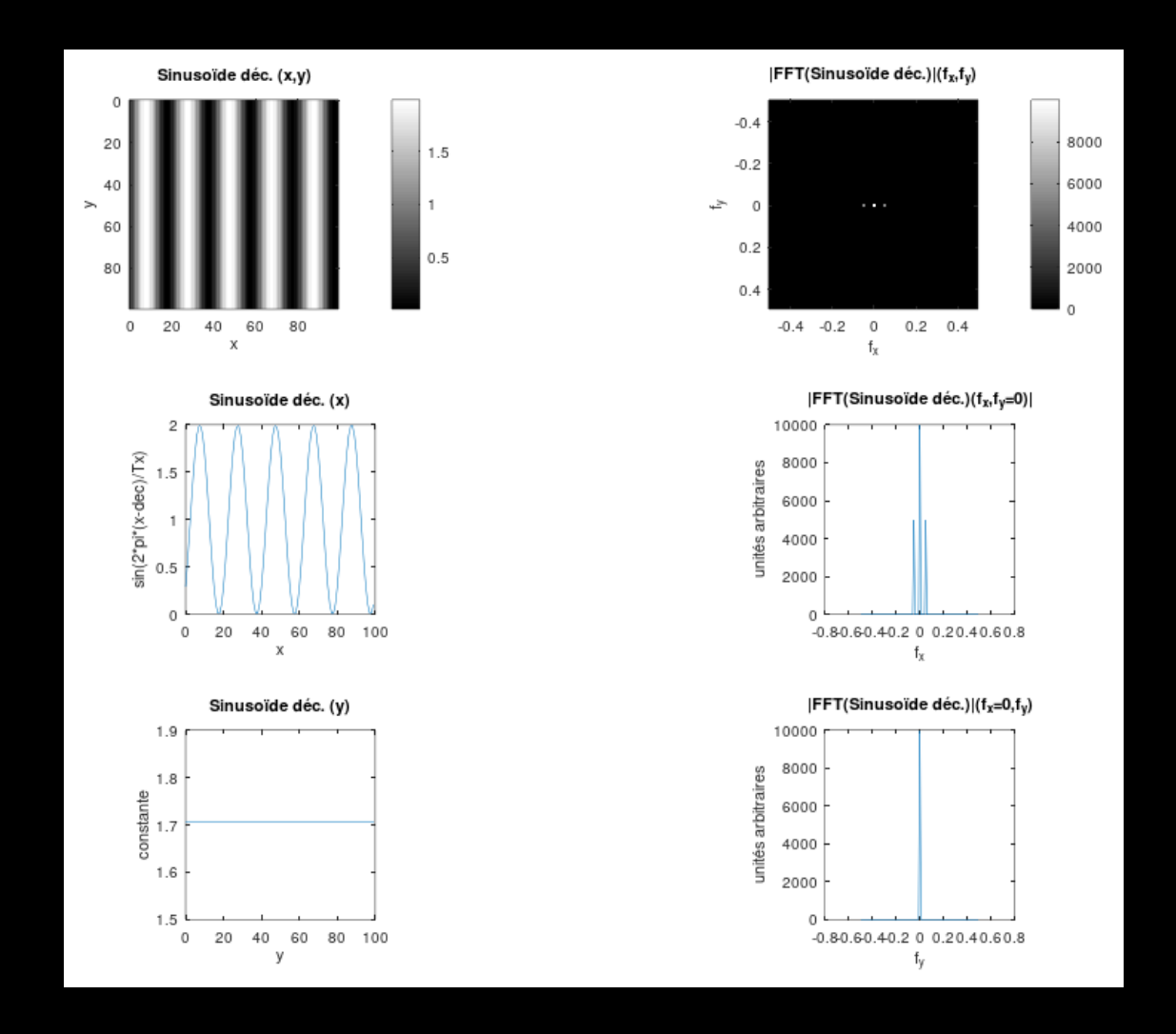
• Exercice 1 : Reprendre l'exemple ci-dessus. Décaler la sinusoïde de 7.5 pixels. Que se passe-t-il au niveau (du module) de la TF ?

```
1 clear
   close all
4 % sinsusoïde
   dim=100;
                                % dimension linéaire de l'image
                                % pas (taille du pixel)
   Dx=1:
   x=0:Dx:(dim-1)*Dx;
                               % vecteur des x
   whos x
9
   y=x;
                               % vecteur des y
10
11
                                % période de la sinusoïde
   Tx=20;
   I=ones(dim,1)*(1+cos(2*pi*x/Tx));
12
13
                                % sinusoïde (en fait un cosinus) selon x,
    whos I
14
                                % de période Tx et évoluant de 0 à 2
15
16
   figure(1), colormap('gray')
17
18
    subplot(3,2,1), imagesc(x,y,I)
    title('Sinusoïde(x,y)'), xlabel('x'), ylabel('y'), colorbar, axis('square')
19
20
21
    subplot(3,2,3), plot(x,I(dim/2+1,:)), axis('square')
    title('Sinusoïde(x)'), xlabel('x'), ylabel('sin(2*pi*x/Tx)')
23
24
    subplot(3,2,5), plot(y,I(:,dim/2+1)), axis('square')
25
    title('Sinusoïde(y)'), xlabel('y'), ylabel('constante')
26
```

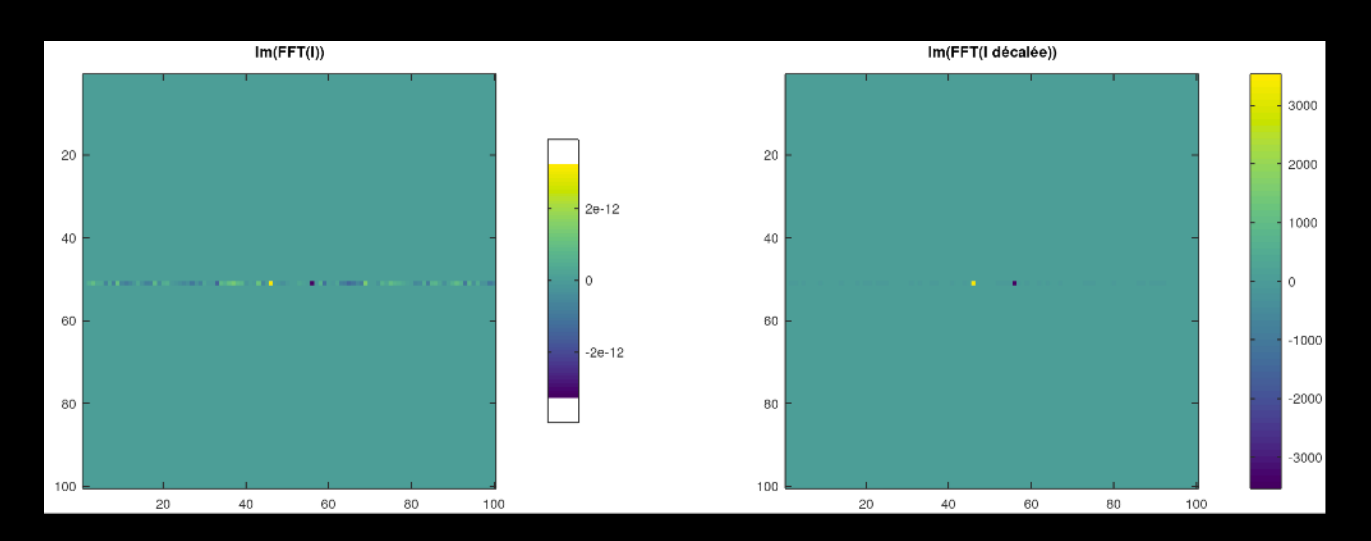
```
% FFT(sinusoïde)
28
                                % FFT(image)
    Ichap=fft2(I);
29
    whos Ichap
30
    Ichapmod=abs(fftshift(Ichap));
    whos Ichapmod
                                % module de FFT(image)
31
32
33
    fx=1/(dim*Dx)*(-dim/2:dim/2-1); fy=fx;
34
                                % vecteurs des fréquences spatiales
35
36
    subplot(3,2,2), imagesc(fx,fy,Ichapmod)
    title('|FFT(Sinusoïde)(f_x,f_y)|'), xlabel('f_x'), ylabel('f_y')
37
38
    colorbar, axis('square')
39
40
    subplot(3,2,4), plot(fx,Ichapmod(dim/2+1,:)), axis('square'),
    title('|FFT(Sinusoïde)|(f_x,f_y=0)'), xlabel('f_x'), ylabel('unités arbitraires')
41
42
43
    subplot(3,2,6), plot(fy,Ichapmod(:,dim/2+1)), axis('square')
    title('|FFT(Sinusoïde)|(fx=0,fy)'), xlabel('f_y'), ylabel('unités arbitraires')
44
45
```

```
46
    % cas de la sinusoïde décalée
47
    dec=7.5;
48
    Idec=ones(dim,1)*(1+cos(2*pi*(x-dec)/Tx));
49
    Idecchap=fft2(Idec);
50
    Idecchapmod=abs(fftshift(Idecchap));
51
52
    figure(2), colormap('gray')
53
54
    subplot(3,2,1), imagesc(x,y,Idec)
    colorbar, axis('square')
55
    title('Sinusoïde déc. (x,y)'), xlabel('x'), ylabel('y')
56
57
    subplot(3,2,2), imagesc(fx,fy,Idecchapmod)
58
59
    axis('square'), colorbar
60
    title('|FFT(Sinusoïde déc.)|(f_x,f_y)'), xlabel('f_x'), ylabel('f_y')
61
62
    subplot(3,2,3), plot(x,Idec(dim/2+1,:))
    axis('square')
63
64
    title('Sinusoïde déc. (x)'), xlabel('x'), ylabel('sin(2*pi*(x-dec)/Tx)')
65
66
    subplot(3,2,4), plot(fx,Idecchapmod(dim/2+1,:))
67
    axis('square')
    title('|FFT(Sinusoïde déc.)(f_x,f_y=0)|')
68
69
    xlabel('f_x'), ylabel('unités arbitraires')
70
71
    subplot(3,2,5), plot(y,Idec(:,dim/2+1))
72
    axis('square')
    title('Sinusoïde déc. (y)'), xlabel('y'), ylabel('constante')
73
74
75
    subplot(3,2,6), plot(fy,Ichapmod(:,dim/2+1))
76
    axis('square')
77
    title('|FFT(Sinusoïde déc.)|(f_x=0,f_y)')
78
    xlabel('f_y'), ylabel('unités arbitraires')
```





Remarque (sur les parties imaginaires) :



Autres exemples communs/utiles

-> Porte bidimensionnelle

$$f(x,y) = \Pi\left(\frac{x}{a}\right) \Pi\left(\frac{y}{b}\right)$$

TF(porte en x) = sinc(u a); TF(porte en y) = sinc(v b)

$$\hat{f}(u,v) = \operatorname{sinc}(u\,a)\,\operatorname{sinc}(v\,b)$$

Remarque 1 : $\prod (x/a)$ et $\prod (y/b)$ sont des fonctions séparables en x et en y => pas de convolution dans le plan de Fourier ici !

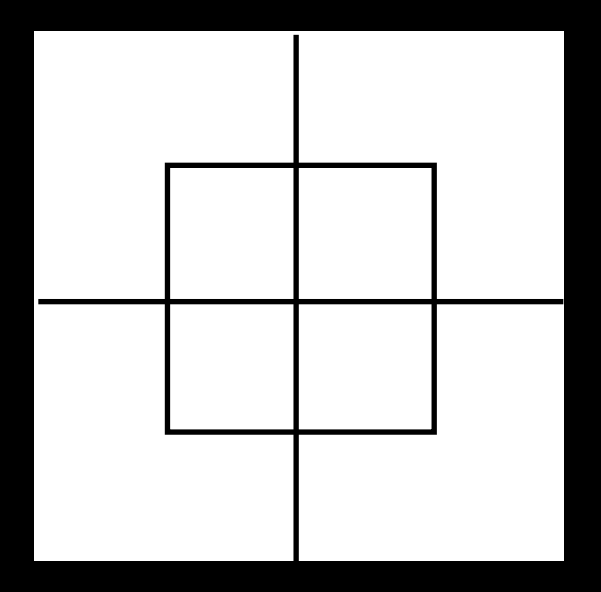
Remarque 2 : Les portes en x et y peuvent décrire le fait qu'une image est de taille a x b (en pixels).

Remarque 3 : $\prod (x/a)$ = porte de largeur a en x. sinc(u a) de largeur inversement prop. à a.

Quand a augmente, le pic du sinc augmente, mais sa largeur diminue => plus la porte est large, plus le sinc dans Fourier est étroit.

sous Matlab/Octave:

```
>> dim=128; a=20; b=20; 
>> P=zeros(dim,dim);
```



1 dim/2 dim/2+1 dim

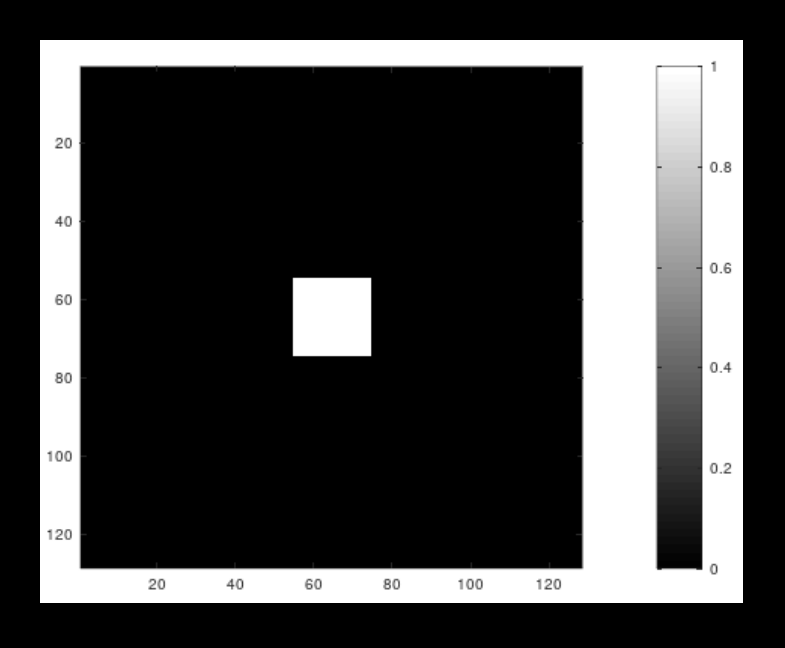
>> P(dim/2-a/2+1:dim/2+a/2,dim/2-b/2+1:dim/2+b/2)=1;

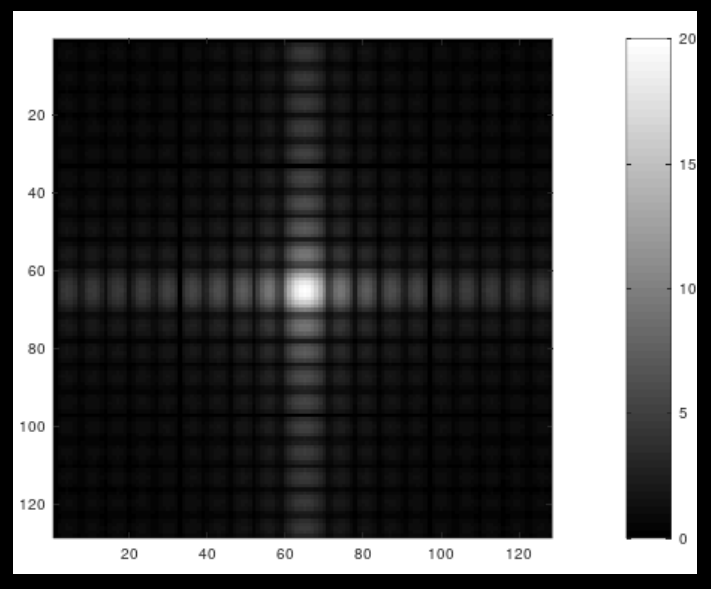
>> colormap(gray)

>> imagesc(P), axis('square')

>> Pchap=fft2(P);

>> imagesc((abs(fftshift(Pchap))).^0.5), colorbar

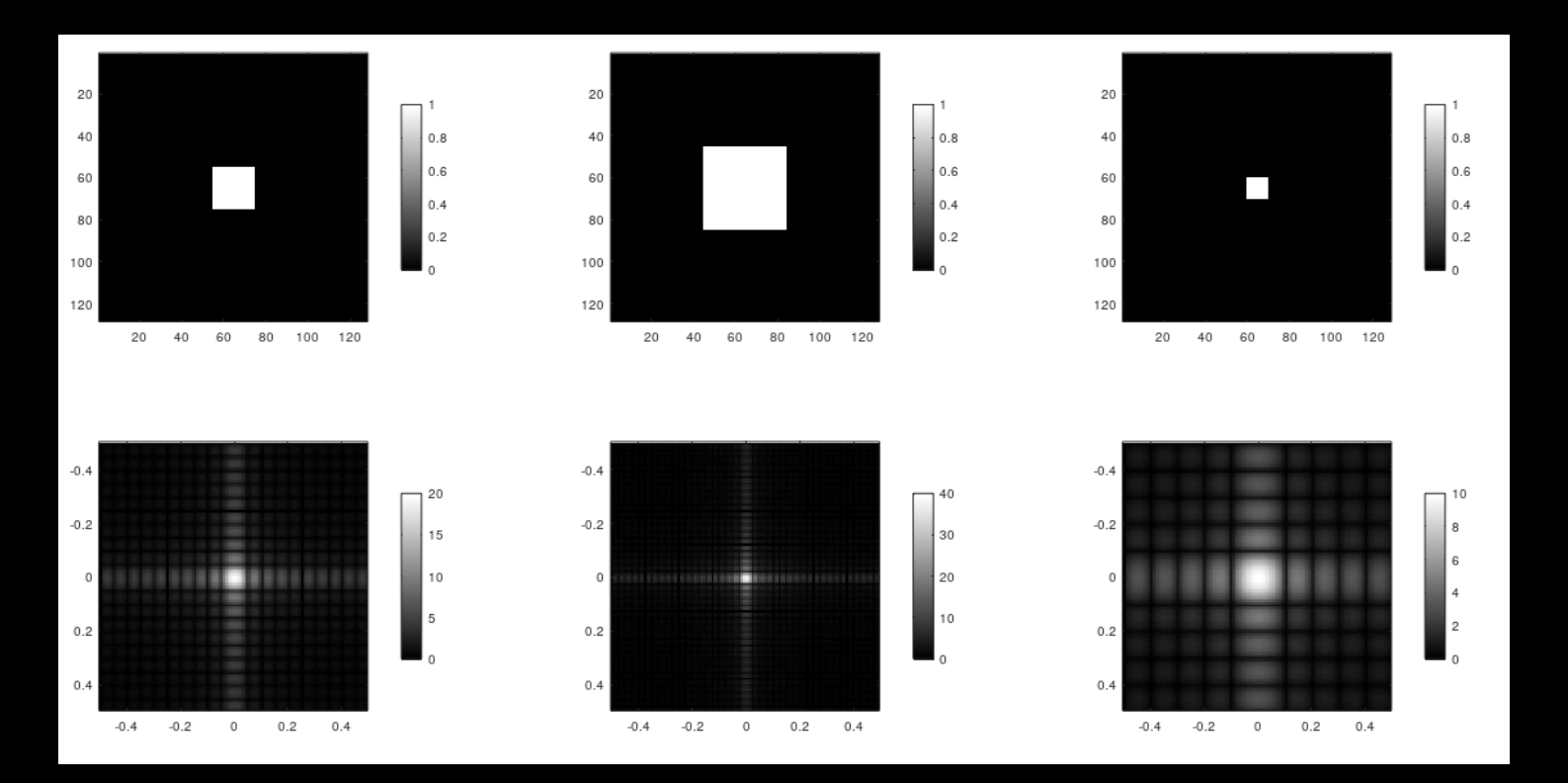


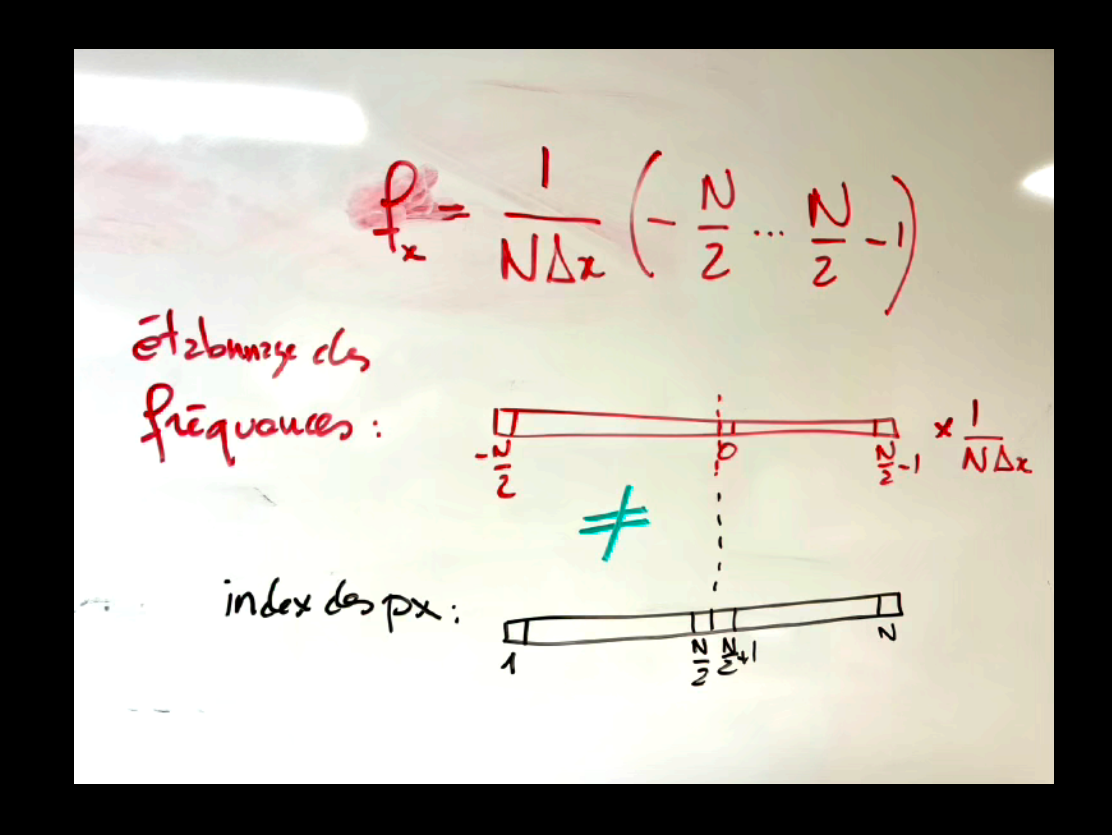


Exercice 2 : Reprendre l'exemple précédent et augmenter/diminuer *a* et *b*. Que remarque-t-on ? (Prendre par exemple 3 valeurs : 20, 10, 40) (Mettre aussi les bonnes échelles de fréquences spatiales dans Fourier…)

```
clear
 2
    close all
 3
 4
   dim=128; fx=1/(dim*1)*(-dim/2:dim/2-1); fy=fx;
 5
   % 1er exemple
 6
 7
   P20=zeros(dim,dim); a=20; b=20;
   P20(dim/2-a/2+1:dim/2+a/2, dim/2-b/2+1:dim/2+b/2)=1.0;
 9
    Pchapmod20=abs(fftshift(fft2(P20)));
10
11
   % 2me exemple
12
   P40=zeros(dim,dim); a=40; b=40;
13
   P40(dim/2-a/2+1:dim/2+a/2, dim/2-b/2+1:dim/2+b/2)=1.0;
14 Pchapmod40=abs(fftshift(fft2(P40)));
15
16 % 3me exemple
17
   P10=zeros(dim,dim); a=10; b=10;
18
   P10(dim/2-a/2+1:dim/2+a/2, dim/2-b/2+1:dim/2+b/2)=1.0;
   Pchapmod10=abs(fftshift(fft2(P10)));
19
20
```

```
% figure finale
22 figure, colormap('gray')
23
24 subplot(2,3,1), imagesc(P20)
25 colorbar, axis('square')
   title('Porte(x/20,y/20)'), xlabel('x'), ylabel('y')
26
27
28
   subplot(2,3,2), imagesc(P40)
29
    colorbar, axis('square')
   title('Porte(x/40,y/40)'), xlabel('x'), ylabel('y')
30
31
32
   subplot(2,3,3), imagesc(P10)
33
    colorbar, axis('square')
    title('Porte(x/10,y/10)'), xlabel('x'), ylabel('y')
34
35
36
    subplot(2,3,4), imagesc(fx,fy,Pchapmod20.^.5)
    colorbar, axis('square')
37
    title('sqrt(|FFT(Porte_{20})|(f_x,f_y))'), xlabel('f_x'), ylabel('f_y')
38
39
40
    subplot(2,3,5), imagesc(fx,fy,Pchapmod40.^.5)
41
   colorbar, axis('square')
42
   title('sqrt(IFFT(Porte_{40})I(f_x,f_y))'), xlabel('f_x'), ylabel('f_y')
43
44
    subplot(2,3,6), imagesc(fx,fy,Pchapmod10.^.5)
    colorbar, axis('square')
    title('sqrt(|FFT(Porte_{10})|(f_x,f_y))'), xlabel('f_x'), ylabel('f_y')
46
```





-> Gaussienne bidimensionnelle

$$f(x,y) = \exp\left\{-\pi \frac{x^2}{a^2}\right\} \exp\left\{-\pi \frac{y^2}{b^2}\right\}$$

$$\hat{f}(u,v) = a \exp\{-\pi(au)^2\} b \exp\{-\pi(bv)^2\}$$

sous Matlab/Octave:

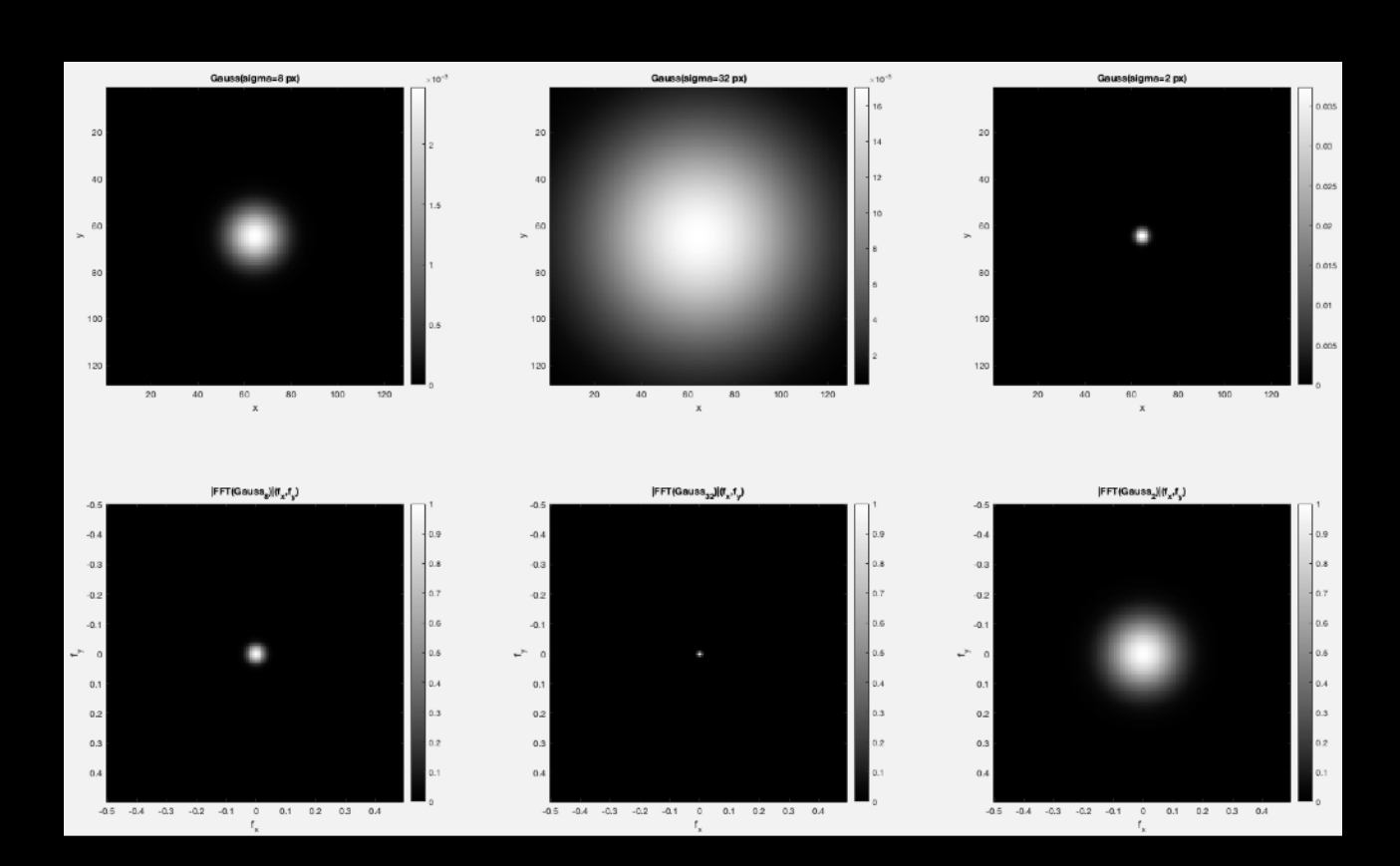
```
>> dim=128; sigma=10;
>> G = fspecial('gaussian', dim, sigma);
>> ...
```

Exercice 3: Comme l'exercice 2 mais avec une Gaussienne...

(En prenant trois valeurs de sigma et toujours en étalonnant correctement les fréquences spatiales.)

```
clear
    close all
    pkg load image
   dim=128; fx=1/(dim*1)*(-dim/2:dim/2-1); fy=fx;
7
    % 1er exemple
    G8=fspecial('gaussian',dim,a);
10
    Gchapmod8=abs(fftshift(fft2(G8)));
11
12
    % 2me exemple
    a=32;
13
14
    G32=fspecial('gaussian',dim,a);
    Gchapmod32=abs(fftshift(fft2(G32)));
15
16
17
    % 3me exemple
18
    a=2;
    G2=fspecial('gaussian',dim,a);
19
20
    Gchapmod2=abs(fftshift(fft2(G2)));
21
```

```
22
    % figure finale
23
    figure, colormap('gray')
24
25
    subplot(2,3,1), imagesc(G8)
26
    colorbar, axis('square')
27
    title('Gauss(sigma=8 px)'), xlabel('x'), ylabel('y')
28
29
    subplot(2,3,2), imagesc(G32)
    colorbar, axis('square')
30
31
    title('Gauss(sigma=32 px)'), xlabel('x'), ylabel('y')
32
33
    subplot(2,3,3), imagesc(G2)
34
    colorbar, axis('square')
35
    title('Gauss(sigma=2 px)'), xlabel('x'), ylabel('y')
36
37
    subplot(2,3,4), imagesc(fx,fy,Gchapmod8)
38
    colorbar, axis('square')
39
    title('|FFT(Gauss_{8})|(f_x,f_y)'), xlabel('f_x'), ylabel('f_y')
40
41
    subplot(2,3,5), imagesc(fx,fy,Gchapmod32)
42
    colorbar, axis('square')
43
    title('|FFT(Gauss_{32})|(f_x,f_y)'), xlabel('f_x'), ylabel('f_y')
44
45
    subplot(2,3,6), imagesc(fx,fy,Gchapmod2)
    colorbar, axis('square')
46
47
    title('|FFT(Gauss_{2})|(f_x,f_y)'), xlabel('f_x'), ylabel('f_y')
```



$$-> \underline{\text{Dirac}}$$
: $\partial(x,y) -TF -> \mathbf{1}(u,v)$

$$-> Continu$$
:
$$a 1(x,y) - TF -> a \partial(u,v)$$

-> Peigne de Dirac :

$$\underline{III}$$
(a) (x) . \underline{III} (b) (y) $-TF$ $->$ \underline{III} (1/a) (u) . \underline{III} (1/b) (v)

La fonction Sha de période a en x ($\underline{III}(a)$ (x)) et de période b en y ($\underline{III}(b)$ (y)) décrit, notamment, l'échantillonnage d'une image (les pixels!)...

(on prend dans la suite $\Delta y = \Delta x = \text{taille du pixel}$)

=> image discrète
$$(x,y)$$
 = image continue (x,y)
• $(\underline{III}(\Delta x) (x) . \underline{III}(\Delta x) (y))$

=> DFT(img discrète)
$$(u,v) = DFT(img continue) (u,v)$$

* $(III(1/\Delta x) (u) . III(1/\Delta x) (v))$

(où • décrit le produit et * le produit de convolution)

Or: $1/\Delta x = \text{largeur de } \underline{\text{toute}} \text{ la } DFT$

Donc, on a : échantillonnage dans le plan direct => périodisation dans le plan de Fourier !

Trois propriétés remarquables de la TF

-> Dilatation

$$f\left(\frac{x}{a}, \frac{y}{b}\right) - \text{par } TF \to |a| \ |b| \ \hat{f}(a \, u, b \, v)$$

Ce qui est étroit dans l'espace direct est large dans l'espace de Fourier, et vice versa.

-> Translation

$$f(x+x_0,y+y_0)-\operatorname{par} TF o \hat{f}(u,v) \ \exp\left\{-2\imath\pi(x_0\,u+y_0\,v)\right\}$$
 car on a au passage...

$$f(x+x_0, y+y_0) = f(x,y) * \delta((x+x_0, y+y_0))$$

Remarque 1 : ceci constitue un excellent moyen de décaler ou interpoler une image... (simple multiplication de la TF par un terme de phase.)
Remarque 2 : le module est inchangé.

-> Convolution

$$f(x,y).g(x,y) - ^{\mathrm{TF}} \rightarrow \hat{f}(u,v) * \hat{g}(u,v)$$

$$f(x,y) * g(x,y) - ^{\mathrm{TF}} \rightarrow \hat{f}(u,v).\hat{g}(u,v)$$

C'est la propriété que l'on va utiliser pour le filtrage (et qui est au cœur de la déconvolution).

Exercice 4 : Décaler la Gaussienne bidimensionnelle de l'exercice précédent (avec *sigma*=10 px) de 10,4 px en *x* et -10,4 px en *y*, par TF.

Étapes:

- (1) création de la Gaussienne (plan direct)
- (2) calculer le terme de phase (plan de Fourier)
- (3) appliquer le terme de phase (plan de Fourier)
- (4) revenir dans le plan direct

L'étape (2) revient à écrire correctement le terme de phase $exp(-2 i \pi (xo u + yo v))$ dans Fourier... terme qui doit être <u>un tableau</u> de mêmes dimensions que l'image de départ (et donc sa TF et donc la phase de cette TF). Ici xo et yo sont les décalages respectivement en x et en y, et ce sont des nombres, pas des tableaux. Par contre, u et v doivent décrire toutes les valeurs des fréquences dans le plan de Fourier... Ce sont donc des tableaux de mêmes dimensions que l'image de départ. Par exemple : u=ones(dim, 1)*fx, où : fx=1/(dim*1)*(-dim/2:dim/2-1).

Attention : on est ici dans le plan de la **FFT**, avec son décalage d'un demi-tableau à droite et vers le haut, il faut donc utiliser *fftshift* de manière à avoir les fréquences des tableaux de *u* et de *v* en face de celles de la FFT de l'image.